

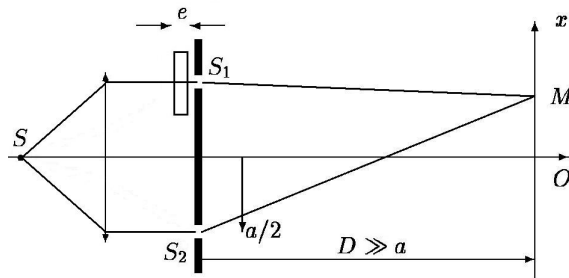


## Question de cours : Michelson en lame d'air

Montage équivalent. Surface de localisation. Calcul de la différence de marche. Étude du rayon des anneaux, effet d'une variations de  $e$ .

## Frangé achromatique

La figure ci-dessous représente le dispositif des fentes d'Young. Devant la fente  $S_1$ , on place une lame de verre d'indice  $n$  et d'épaisseur  $e$ .



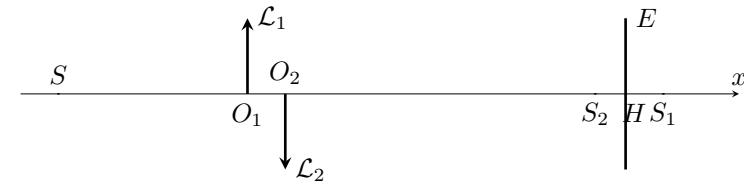
1. La source  $S$  est une source monochromatique de longueur d'onde  $\lambda$ ; calculer la position  $x_0$  de la frange brillante d'ordre 0.
2. La source  $S$  émet maintenant un spectre continu de longueur d'onde moyenne  $\lambda$ ; calculer en fonction de  $D, e, a, n$  et  $\frac{dn}{d\lambda}$  la position  $x_1$  de la frange brillante achromatique, c'est-à-dire la frange brillante pour toutes les longueurs d'onde émises par  $S$ .

## Question de cours : Michelson en coin d'air

Description du dispositif. Localisation de la figure d'interférence en source étendue. Expression de la différence de marche. Figure d'interférence.

## Bilentilles de Meslin

Une lentille convergente ( $\mathcal{L}$ ) de centre  $O$ , d'axe  $Ox$ , de distance focale  $f = 0,5$  m, de rayon d'ouverture  $h = 4$  cm, est coupée en deux parties égales ( $\mathcal{L}_1$ ) et ( $\mathcal{L}_2$ ) suivant un diamètre. Le centre  $O$  est ainsi dissocié en deux points  $O_1$  et  $O_2$ . On fait subir à ( $\mathcal{L}_2$ ) une translation le long de l'axe  $Ox$  telle que  $e = \|\overrightarrow{O_1O_2}\| \cdot \vec{e}_x = 5$  mm.



On éclaire le dispositif par une source ponctuelle  $S$  émettant une radiation monochromatique de longueur d'onde  $\lambda = 0,449 \mu\text{m}$  placée sur  $Ox$  en un point  $S$  tel que  $\overrightarrow{SO_1} \cdot \vec{e}_x = 0,75$  m. Soient  $S_1$  et  $S_2$  les images de  $S$  données respectivement par ( $\mathcal{L}_1$ ) et ( $\mathcal{L}_2$ ).

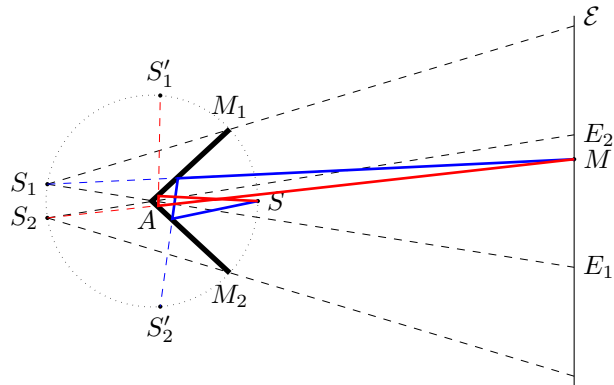
1. Déterminer les positions de  $S_1$  et  $S_2$ .
2. (a) Déterminer le champ d'interférence.  
(b) L'observation ayant lieu sur un écran ( $E$ ) perpendiculaire à  $Sx$ , déterminer les limites du champ d'interférence en fonction de la distance  $d = \overrightarrow{S_2H} \cdot \vec{e}_x$ .

Pour quelle valeur de  $d$  le champ est-il le plus large ?

3. (a) Calculer la différence de marche entre deux rayons lumineux interférant en un point  $M$ . On admettra qu'un rayon lumineux issu de  $S$  subit une avance de marche égale à  $\lambda/2$  quand il passe par l'image de  $S$  donnée par ( $\mathcal{L}_1$ ) ou ( $\mathcal{L}_2$ ).  
(b) Quelles sont les surfaces d'égale différence de marche ? Montrer que l'on observe dans ( $E$ ) des franges semi-circulaires.  
(c) Pour quelle position de ( $E$ ) une frange d'ordre d'interférence donné a-t-elle un rayon maximum ? Déterminer alors le rayon des anneaux sombres. Quel est le nombre de franges sombres observables dans le champ ?

1. Les points  $S'_1, S'_2, S_1$  et  $S_2$  sont situés sur le cercle de centre  $A$  et de rayon  $R$ ; leurs positions sont déterminées par leurs angles polaires :

$$\begin{aligned} S'_1 : \theta'_1 &= \frac{\pi}{2} - \alpha \\ S'_2 : \theta'_2 &= -\frac{\pi}{2} + \alpha \\ S_1 : \theta_1 &= \pi - 2\alpha \\ S_2 : \theta_2 &= \pi + 2\alpha \end{aligned}$$



2.  $\widehat{S_1 A S_2} = \theta_2 - \theta_1 = 4\alpha$ . On en déduit que

$$a = S_1 S_2 = 2R \sin 2\alpha \simeq 4R\alpha$$

dans l'approximation des angles petits.

3. Les sources secondaires sont à une distance  $D = d + R$  du plan  $\mathcal{E}$ . La différence de marche est

$$\delta = \|\overrightarrow{S_2 M}\| - \|\overrightarrow{S_1 M}\|$$

avec

$$\begin{aligned} \|\overrightarrow{S_2 M}\| &= \sqrt{(x + 2R\alpha)^2 + y^2 + D^2} \\ &= D \sqrt{1 + \frac{(x + 2R\alpha)^2 + y^2}{D^2}} \\ &\simeq D \left( 1 + \frac{(x + 2R\alpha)^2 + y^2}{2D^2} \right) \end{aligned}$$

De même

$$\|\overrightarrow{S_1 M}\| \simeq D \left( 1 + \frac{(x - 2R\alpha)^2 + y^2}{2D^2} \right)$$

On en déduit

$$\delta = \frac{4R\alpha x}{D} = \frac{4R\alpha x}{d + R}$$

L'interfrange est déterminée par

$$\lambda_0 = \frac{4R\alpha i}{d + R} \text{ soit } i = \frac{\lambda_0(d + R)}{4R\alpha}$$

4. La largeur du champ d'interférence est

$$E_1 E_2 = 4\alpha d$$

La valeur maximale de  $x$  est donc

$$x_{max} = 2\alpha d$$

L'ordre d'interférence maximal est

$$p_{max} = \frac{x_{max}}{i} = \frac{8Rd\alpha^2}{\lambda_0(d + R)}$$

Le nombre de franges brillantes est

$$N = 1 + 2E(p_{max}) = 1 + E \left( \frac{8Rd\alpha^2}{\lambda_0(d + R)} \right)$$

5. Numériquement, on obtient

$$\begin{aligned} i &= 0,60 \text{ mm} \\ a &= 0,80 \text{ mm} \\ E_1 E_2 &= 5,6 \text{ mm} \\ N &= 1 + E(4,65) = 9 \end{aligned}$$

1. En l'absence de lame, la différence de marche est

$$\begin{aligned}\delta(M) &= S_2M - S_1M \\ &= \sqrt{D^2 + \left(x + \frac{a}{2}\right)^2} - \sqrt{D^2 + \left(x - \frac{a}{2}\right)^2} \\ &= D\sqrt{1 + \frac{1}{D^2}\left(x + \frac{a}{2}\right)^2} - D\sqrt{1 + \frac{1}{D^2}\left(x - \frac{a}{2}\right)^2} \\ &\simeq D\left(1 + \frac{1}{2D^2}\left(x + \frac{a}{2}\right)^2 - 1 - \frac{1}{2D^2}\left(x - \frac{a}{2}\right)^2\right) \\ &= \frac{1}{2D}(2ax) \\ &= \frac{ax}{D}\end{aligned}$$

En présence de lame, le chemin optique sur la voie 1 devient

$$(S_1M) = S_1M + (n-1)e$$

La différence de marche devient alors

$$\delta(M) = \frac{ax}{D} + (1-n)e$$

La frange d'ordre 0 est à l'abscisse  $x_0$  telle que

$$0 = \frac{ax_0}{D} + (1-n)e \text{ soit } x_0 = (n-1)\frac{eD}{a}$$

2. La frange d'ordre  $p$  est à l'abscisse  $x_p$  telle que

$$p\lambda = \frac{ax_0}{D} + (1-n)e \text{ soit } x_p = (n-1)\frac{eD}{a} + p\frac{\lambda D}{a}$$

$x_p$  dépend de  $\lambda$ ; sa dérivée est

$$\frac{dx_p}{d\lambda} = \frac{dn}{d\lambda}\frac{eD}{a} + p\frac{D}{a}$$

La frange achromatique est telle que

$$\frac{dx_p}{d\lambda} = 0 \text{ soit } p = -e\frac{dn}{d\lambda}$$

soit

$$x_p = \left(n - 1 - \lambda\frac{dn}{d\lambda}\right)\frac{eD}{a}$$

Cette frange n'est généralement pas une frange brillante. La frange brillante achromatique est la frange brillante qui réalise au mieux cette condition de façon approchée;  $p$  est l'entier le plus proche de  $-e\frac{dn}{d\lambda}$ , soit

$$p = E\left(-e\frac{dn}{d\lambda} + \frac{1}{2}\right)$$

et finalement

$$x_{achro,bril} = \left(n - 1 + E\left(-e\frac{dn}{d\lambda} + \frac{1}{2}\right)\right)\frac{eD}{a}$$

1. Les relations de conjugaison longitudinales s'écrivent

$$\frac{1}{\overline{O_1 S_1}} - \frac{1}{\overline{O_1 S}} = \frac{1}{f} \text{ soit } \overline{O_1 S_1} = \frac{1}{\frac{1}{f} + \frac{1}{\overline{O_1 S}}} = 1,500 \text{ m}$$

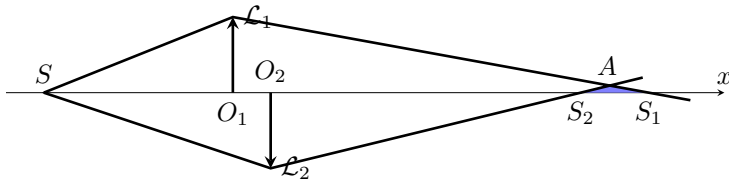
et

$$\frac{1}{\overline{O_2 S_2}} - \frac{1}{\overline{O_2 S}} = \frac{1}{f} \text{ soit } \overline{O_2 S_2} = \frac{1}{\frac{1}{f} + \frac{1}{\overline{O_2 S}}} = 1,480 \text{ m}$$

On en déduit que

$$\overline{S_2 S_1} = 15 \text{ mm}$$

2. a) Le champ d'interférence est à l'intersection des faisceaux passant par la demi-lentille  $\mathcal{L}_1$  et par la demi-lentille  $\mathcal{L}_2$ .



b) Entre  $x_{S_2}$  et  $x_A$ , c'est le rayon  $S_2 A$  qui limite le champ d'interférence; entre  $x_A$  et  $x_{S_1}$ , c'est le rayon  $A S_1$  qui limite le champ d'interférence.

La pente de  $S_2 A$  est  $\alpha_2 = \frac{h}{\overline{O_2 S_2}}$ , tandis que la pente de  $A S_1$  est  $\alpha_1 = -\frac{h}{\overline{O_1 S_1}}$ ; le champ est le plus large à l'intersection de ces deux droites, soit, en remarquant que  $\alpha_1 \simeq -\alpha_2$ , pratiquement au milieu de  $S_2 S_1$ . On a alors  $d = d_0 = 7,5 \text{ mm}$ .

La largeur du champ d'interférence est alors

$$\ell_0 \simeq \alpha_1 \frac{S_2 S_1}{2} = 2,0 \cdot 10^{-4} \text{ m}$$

3. a) En un point  $M$  du champ d'interférence, le rayon de la voie 2 est passé par le point  $S_2$ , mais le rayon de la voie 1 n'est pas passé par le point  $S_1$ . La différence de marche est donc

$$\delta = \delta_g - \frac{\lambda}{2}$$

où  $\delta_g$  est la différence de marche géométrique :

$$\begin{aligned} \delta &= (SS_2M) - (SS_1M) \\ &= (SS_2) - (SS_1) + S_2M + S_1M \end{aligned}$$

D'après le théorème de Malus,  $(SS_2)$  et  $(SS_1)$  sont indépendants du rayon emprunté pour joindre  $S$  à  $S_2$  ou à  $S_1$ . On en déduit que  $(SS_2) - (SS_1)$  est une constante, que l'on peut identifier à  $\overline{S_1 S_2}$  en prenant le cas particulier d'un rayon sur l'axe. La différence de marche est donc finalement

$$\delta = \overline{S_1 S_2} - \frac{\lambda}{2} + S_2M + S_1M$$

b) Une frange est un ensemble de points tel que  $\delta = \text{Cte}$ , donc tel que  $S_2M + S_1M = \text{Cte}$ , ce qui caractérise des ellipsoïdes de révolution de foyers  $S_1$  et  $S_2$ .

Leur intersection par un plan  $x = \text{Cte}$  donne des cercles, mais seul le demi-cercle supérieur est dans le champ d'interférence. On observe donc des franges en forme de demi-cercles.

c) Le rayon d'une frange d'ordre donné est maximal si le plan de l'écran est le plan médiateur de  $S_1 S_2$ . Dans ce cas,  $S_2M = S_1M$ . En particulier, sur l'axe,

$$\delta = 2S_2M + \overline{S_1 S_2} - \frac{\lambda}{2} = -\frac{\lambda}{2}$$

Le point sur l'axe est donc une frange sombre.

A une distance  $r$  de l'axe,

$$\delta = 2S_2M + \overline{S_1 S_2} - \frac{\lambda}{2} = 2\sqrt{d_0^2 + r^2} - 2d_0 - \frac{\lambda}{2}$$

Dans l'approximation de Gauss, on en déduit

$$\delta = 2d_0 \left( 1 + \frac{r^2}{2d_0^2} \right) - 2d_0 - \frac{\lambda}{2} = \frac{r^2}{d_0} - \frac{\lambda}{2}$$

Les anneaux sombres sont tels que

$$\frac{r_k^2}{d_0} = k\lambda \text{ soit } r_k = \sqrt{k\lambda d_0}$$

A la limite du champ d'interférence,  $r = \ell_0$ , donc

$$k < \frac{\ell_0^2}{\lambda d_0} = 11,9$$

On voit donc 11 anneaux sombres dans le champ d'interférence. Le bord du champ d'interférence est pratiquement sombre.